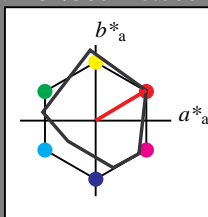


Eingabe: Farbmatisches Reflexions-System MRS18a  
 für Buntton  $h^* = lab^*h = 31/360 = 0.086$   
 $lab^*tch$  und  $lab^*nch$

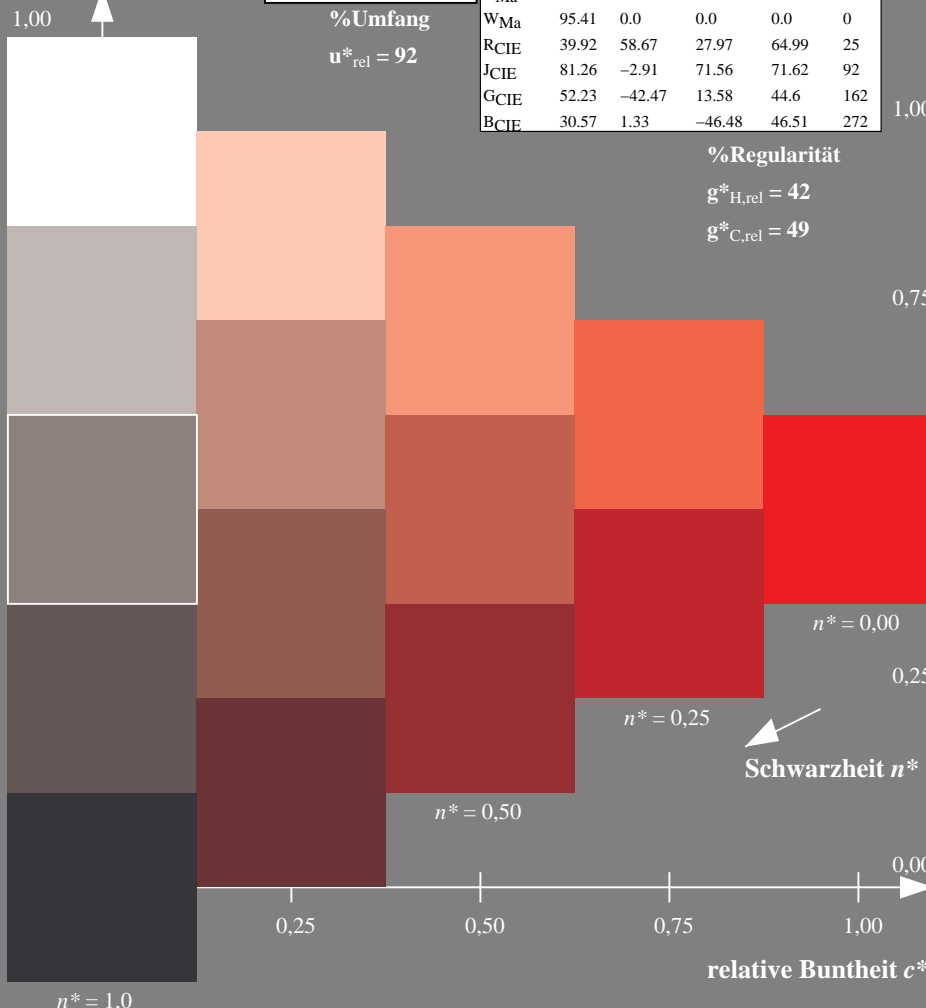
D65: Buntton R  
 LCH\*Ma: 50 78 31  
 rgb\*Ma: 1.0 0.0 0.0

Dreiecks-Helligkeit



MRS18a; adaptierte CIELAB-Daten

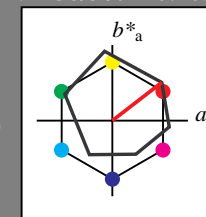
|                    | $L^*=L^*_a$ | $a^*_a$ | $b^*_a$ | $C^*_{ab,a}$ | $h^*_{ab,a}$ |
|--------------------|-------------|---------|---------|--------------|--------------|
| RMa                | 49.63       | 66.8    | 40.02   | 77.87        | 31           |
| JMa                | 90.7        | -7.27   | 93.19   | 93.48        | 94           |
| GMa                | 52.11       | -69.93  | 11.26   | 70.85        | 171          |
| G50B <sub>Ma</sub> | 45.03       | -36.65  | -27.13  | 45.61        | 217          |
| B <sub>Ma</sub>    | 36.65       | 23.26   | -62.27  | 66.49        | 290          |
| B50R <sub>Ma</sub> | 34.94       | 57.27   | -43.6   | 71.99        | 323          |
| N <sub>Ma</sub>    | 18.01       | 0.0     | 0.0     | 0.0          | 0            |
| W <sub>Ma</sub>    | 95.41       | 0.0     | 0.0     | 0.0          | 0            |
| RCIE               | 39.92       | 58.67   | 27.97   | 64.99        | 25           |
| JCIE               | 81.26       | -2.91   | 71.56   | 71.62        | 92           |
| GCIE               | 52.23       | -42.47  | 13.58   | 44.6         | 162          |
| BCIE               | 30.57       | 1.33    | -46.48  | 46.51        | 272          |



Ausgabe: Farbmatisches Reflexions-System ORS18  
 für Buntton  $h^* = lab^*h = 38/360 = 0.105$   
 $lab^*tch$  und  $lab^*nch$

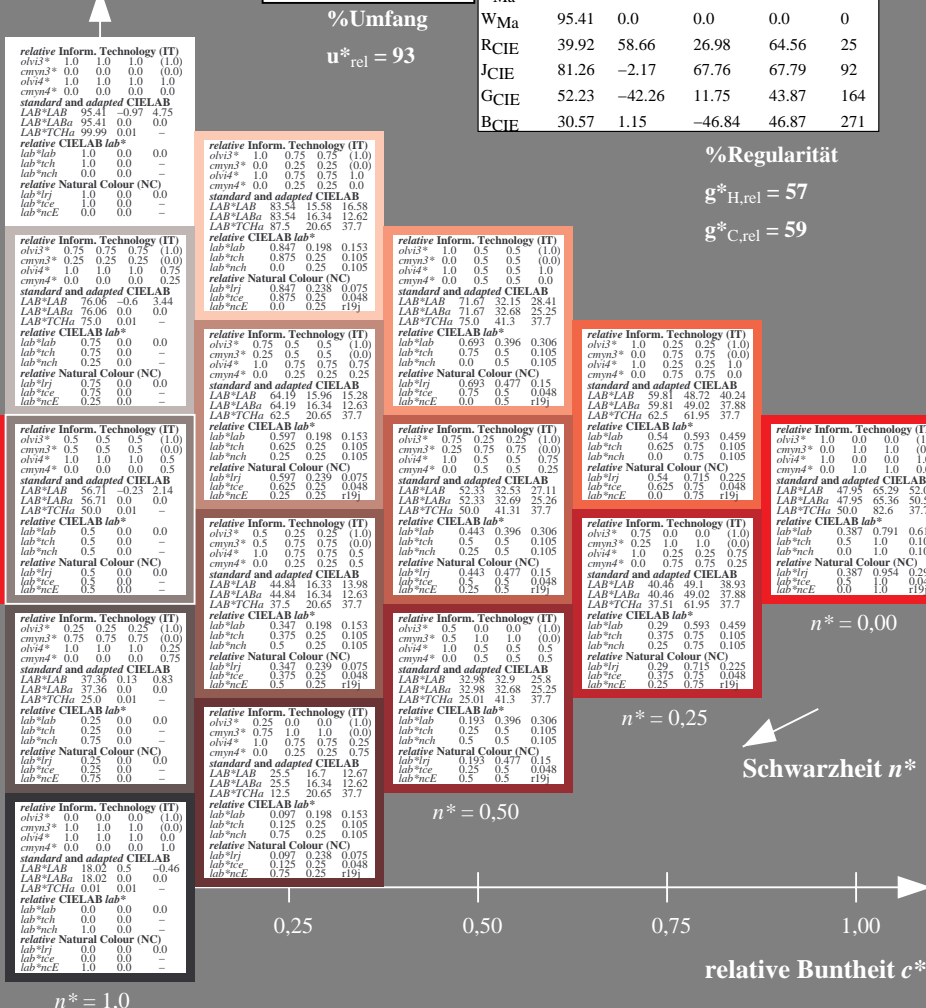
D65: Buntton O  
 LCH\*Ma: 48 83 38  
 rgb\*Ma: 1.0 0.0 0.0

Dreiecks-Helligkeit



ORS18; adaptierte CIELAB-Daten

|                 | $L^*=L^*_a$ | $a^*_a$ | $b^*_a$ | $C^*_{ab,a}$ | $h^*_{ab,a}$ |
|-----------------|-------------|---------|---------|--------------|--------------|
| OMa             | 47.94       | 65.37   | 50.52   | 82.62        | 36           |
| YMa             | 90.37       | -10.27  | 91.77   | 92.34        | 98           |
| LMa             | 50.9        | -62.79  | 34.95   | 71.87        | 151          |
| CMa             | 58.62       | -30.35  | -45.01  | 54.3         | 236          |
| V <sub>Ma</sub> | 25.71       | 31.11   | -44.42  | 54.24        | 305          |
| M <sub>Ma</sub> | 48.13       | 75.27   | -8.35   | 75.73        | 354          |
| N <sub>Ma</sub> | 18.01       | 0.0     | 0.0     | 0.0          | 0            |
| W <sub>Ma</sub> | 95.41       | 0.0     | 0.0     | 0.0          | 0            |
| RCIE            | 39.92       | 58.66   | 26.98   | 64.56        | 25           |
| JCIE            | 81.26       | -2.17   | 67.76   | 67.79        | 92           |
| GCIE            | 52.23       | -42.26  | 11.75   | 43.87        | 164          |
| BCIE            | 30.57       | 1.15    | -46.84  | 46.87        | 271          |



UG460-7, 5stufige Reihen für konstanten CIELAB Buntton 31/360 = 0.086 (links)

5 stufige Reihen für konstanten CIELAB Buntton 38/360 = 0.105 (rechts)

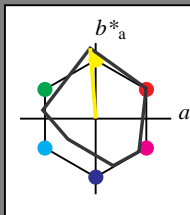
BAM-Prüfvorlage UG46; Farbmatrik-Systeme MRS18a & ORS18 Input:  $cmY0^* \text{ setcmYcolor}$

D65: 5stufige Farbreihen und Koordinaten-Daten für 10 Bunttöneoutput: no change compared to input

Eingabe: Farbmatisches Reflexions-System MRS18a  
 für Buntton  $h^* = lab^*h = 94/360 = 0.262$   
 $lab^*tch$  und  $lab^*nch$

D65: Buntton J  
 LCH\*Ma: 91 93 94  
 rgb\*Ma: 1.0 1.0 0.0

Dreiecks-Helligkeit



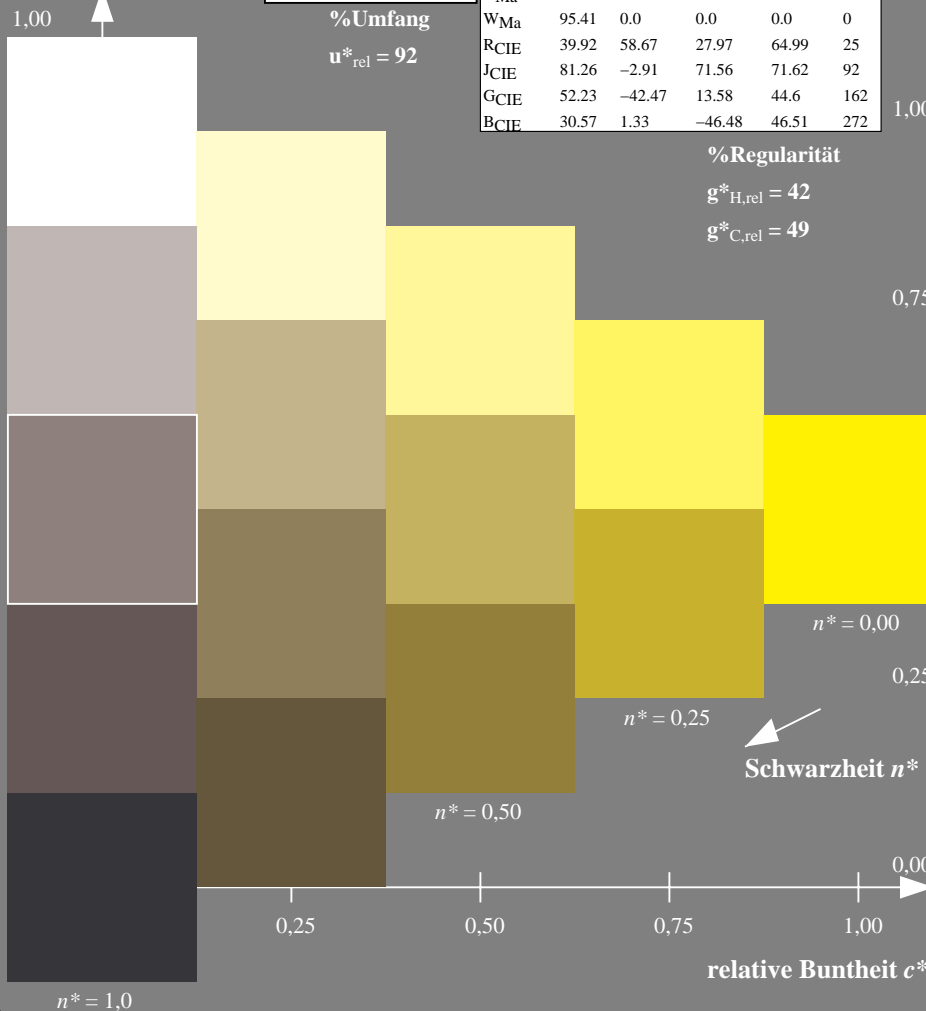
MRS18a; adaptierte CIELAB-Daten

|        | $L^*=L^*_a$ | $a^*_a$ | $b^*_a$ | $C^*_{ab,a}$ | $h^*_{ab,a}$ |
|--------|-------------|---------|---------|--------------|--------------|
| RMa    | 49.63       | 66.8    | 40.02   | 77.87        | 31           |
| JMa    | 90.7        | -7.27   | 93.19   | 93.48        | 94           |
| GMa    | 52.11       | -69.93  | 11.26   | 70.85        | 171          |
| G50BMa | 45.03       | -36.65  | -27.13  | 45.61        | 217          |
| BMa    | 36.65       | 23.26   | -62.27  | 66.49        | 290          |
| B50RMa | 34.94       | 57.27   | -43.6   | 71.99        | 323          |
| NMa    | 18.01       | 0.0     | 0.0     | 0.0          | 0            |
| WMa    | 95.41       | 0.0     | 0.0     | 0.0          | 0            |
| RCIE   | 39.92       | 58.67   | 27.97   | 64.99        | 25           |
| JCIE   | 81.26       | -2.91   | 71.56   | 71.62        | 92           |
| GCIE   | 52.23       | -42.47  | 13.58   | 44.6         | 162          |
| BCIE   | 30.57       | 1.33    | -46.48  | 46.51        | 272          |

%Regularität

$g^*_{H,rel} = 42$

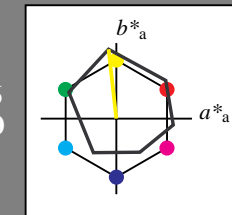
$g^*_{C,rel} = 49$



Ausgabe: Farbmatisches Reflexions-System ORS18  
 für Buntton  $h^* = lab^*h = 96/360 = 0.268$   
 $lab^*tch$  und  $lab^*nch$

D65: Buntton Y  
 LCH\*Ma: 90 92 96  
 rgb\*Ma: 1.0 1.0 0.0

Dreiecks-Helligkeit



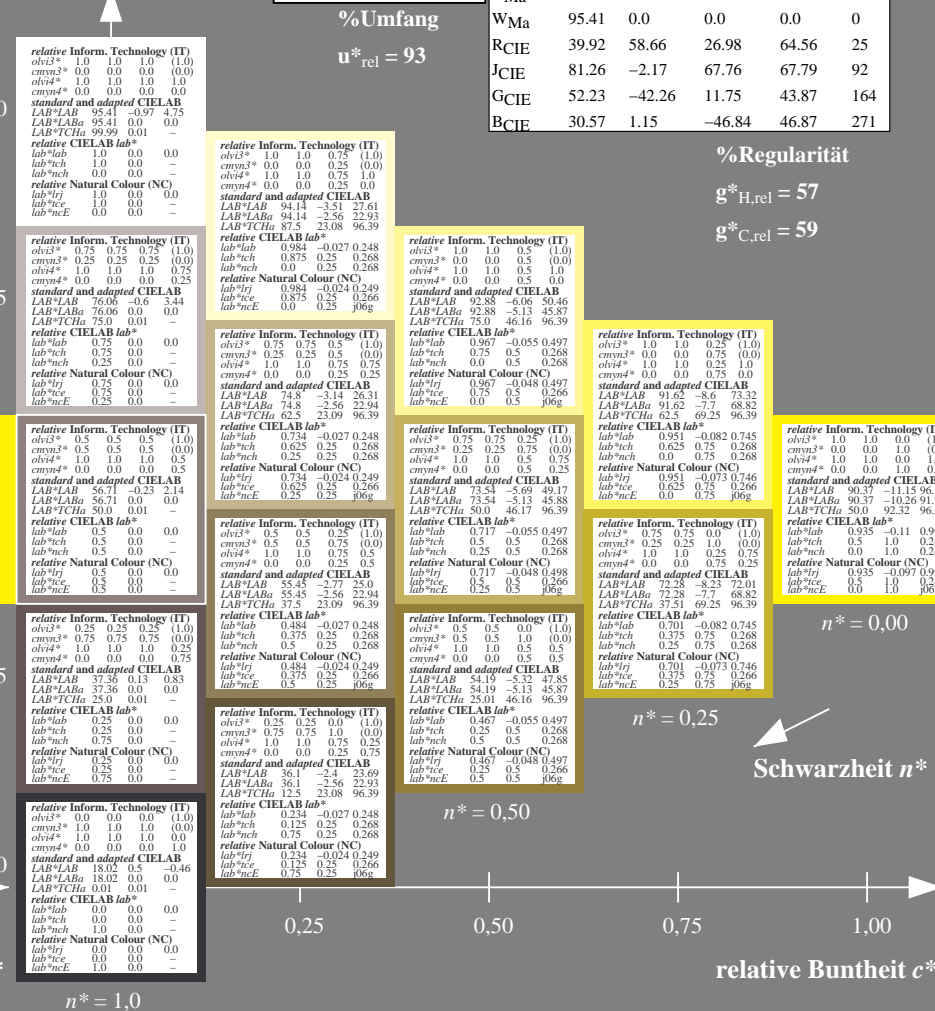
ORS18; adaptierte CIELAB-Daten

|      | $L^*=L^*_a$ | $a^*_a$ | $b^*_a$ | $C^*_{ab,a}$ | $h^*_{ab,a}$ |
|------|-------------|---------|---------|--------------|--------------|
| OMa  | 47.94       | 65.37   | 50.52   | 82.62        | 38           |
| YMa  | 90.37       | -10.27  | 91.77   | 92.34        | 96           |
| LMa  | 50.9        | -62.79  | 34.95   | 71.87        | 151          |
| CMa  | 58.62       | -30.35  | -45.01  | 54.3         | 236          |
| VMa  | 25.71       | 31.11   | -44.42  | 54.24        | 305          |
| MMa  | 48.13       | 75.27   | -8.35   | 75.73        | 354          |
| NMa  | 18.01       | 0.0     | 0.0     | 0.0          | 0            |
| WMa  | 95.41       | 0.0     | 0.0     | 0.0          | 0            |
| RCIE | 39.92       | 58.66   | 26.98   | 64.56        | 25           |
| JCIE | 81.26       | -2.17   | 67.76   | 67.79        | 92           |
| GCIE | 52.23       | -42.26  | 11.75   | 43.87        | 164          |
| BCIE | 30.57       | 1.15    | -46.84  | 46.87        | 271          |

%Regularität

$g^*_{H,rel} = 57$

$g^*_{C,rel} = 59$



UG460-7, 5stufige Reihen für konstanten CIELAB Buntton 94/360 = 0.262 (links)

5 stufige Reihen für konstanten CIELAB Buntton 96/360 = 0.268 (rechts)

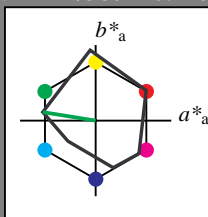
BAM-Prüfvorlage UG46; Farbmatrik-Systeme MRS18a & ORS18 Input:  $cmY0^* setcmykcolor$

D65: 5stufige Farbreihen und Koordinaten-Daten für 10 Bunttöneoutput: *no change compared to input*

Eingabe: Farbmatisches Reflexions-System MRS18a  
 für Buntton  $h^* = lab^*h = 171/360 = 0.475$   
 $lab^*tch$  und  $lab^*nch$

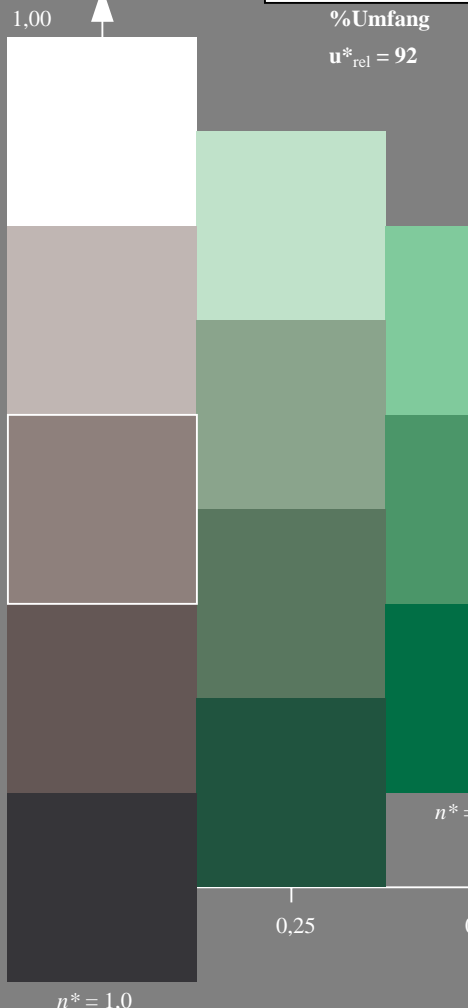
D65: Buntton G  
 LCH\*Ma: 52 71 171  
 rgb\*Ma: 0.0 1.0 0.0

Dreiecks-Helligkeit



%Umfang

$u^*_{rel} = 92$



MRS18a; adaptierte CIELAB-Daten

|                    | $L^*=L^*_a$ | $a^*_a$ | $b^*_a$ | $C^*_{ab,a}$ | $h^*_{ab,a}$ |
|--------------------|-------------|---------|---------|--------------|--------------|
| RMa                | 49.63       | 66.8    | 40.02   | 77.87        | 31           |
| JMa                | 90.7        | -7.27   | 93.19   | 93.48        | 94           |
| GMa                | 52.11       | -69.93  | 11.26   | 70.85        | 171          |
| G50B <sub>Ma</sub> | 45.03       | -36.65  | -27.13  | 45.61        | 217          |
| B <sub>Ma</sub>    | 36.65       | 23.26   | -62.27  | 66.49        | 290          |
| B50R <sub>Ma</sub> | 34.94       | 57.27   | -43.6   | 71.99        | 323          |
| N <sub>Ma</sub>    | 18.01       | 0.0     | 0.0     | 0.0          | 0            |
| W <sub>Ma</sub>    | 95.41       | 0.0     | 0.0     | 0.0          | 0            |
| RCIE               | 39.92       | 58.67   | 27.97   | 64.99        | 25           |
| JCIE               | 81.26       | -2.91   | 71.56   | 71.62        | 92           |
| GCIE               | 52.23       | -42.47  | 13.58   | 44.6         | 162          |
| BCIE               | 30.57       | 1.33    | -46.48  | 46.51        | 272          |

%Regularität

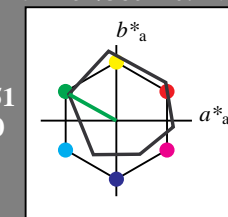
$g^*_{H,rel} = 42$

$g^*_{C,rel} = 49$

Ausgabe: Farbmatisches Reflexions-System ORS18  
 für Buntton  $h^* = lab^*h = 151/360 = 0.419$   
 $lab^*tch$  und  $lab^*nch$

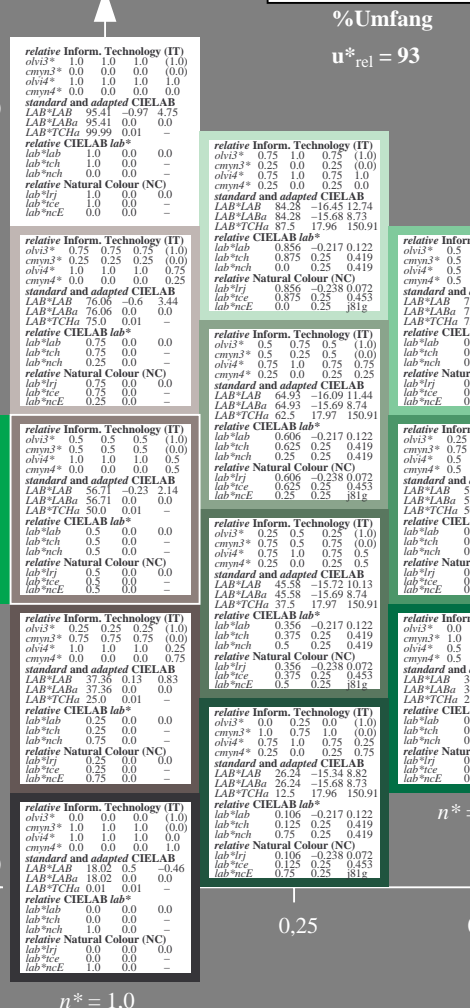
D65: Buntton L  
 LCH\*Ma: 51 72 151  
 rgb\*Ma: 0.0 1.0 0.0

Dreiecks-Helligkeit



%Umfang

$u^*_{rel} = 93$



ORS18; adaptierte CIELAB-Daten

|                 | $L^*=L^*_a$ | $a^*_a$ | $b^*_a$ | $C^*_{ab,a}$ | $h^*_{ab,a}$ |
|-----------------|-------------|---------|---------|--------------|--------------|
| OMa             | 47.94       | 65.37   | 50.52   | 82.62        | 36           |
| YMa             | 90.37       | -10.27  | 91.77   | 92.34        | 98           |
| LMa             | 50.9        | -62.79  | 34.95   | 71.87        | 151          |
| CMa             | 58.62       | -30.35  | -45.01  | 54.3         | 236          |
| VMa             | 25.71       | 31.11   | -44.42  | 54.24        | 305          |
| MMa             | 48.13       | 75.27   | -8.35   | 75.73        | 354          |
| N <sub>Ma</sub> | 18.01       | 0.0     | 0.0     | 0.0          | 0            |
| W <sub>Ma</sub> | 95.41       | 0.0     | 0.0     | 0.0          | 0            |
| RCIE            | 39.92       | 58.66   | 26.98   | 64.56        | 25           |
| JCIE            | 81.26       | -2.17   | 67.76   | 67.79        | 92           |
| GCIE            | 52.23       | -42.26  | 11.75   | 43.87        | 164          |
| BCIE            | 30.57       | 1.15    | -46.84  | 46.87        | 271          |

%Regularität

$g^*_{H,rel} = 57$

$g^*_{C,rel} = 59$

UG460-7, 5 stufige Reihen für konstanten CIELAB Buntton 171/360 = 0.475 (links)

5 stufige Reihen für konstanten CIELAB Buntton 151/360 = 0.419 (rechts)

BAM-Prüfvorlage UG46; Farbmatrik-Systeme MRS18a & ORS18 Input:  $cmY0^* setcmykcolor$

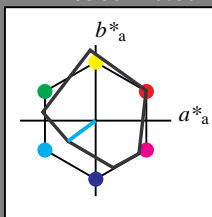
D65: 5stufige Farbreihen und Koordinaten-Daten für 10 Bunttöne Output: *no change compared to input*

Eingabe: Farbmetrisches Reflexions-System MRS18a

für Buntton  $h^* = lab^*h = 217/360 = 0.601$   
 $lab^*tch$  und  $lab^*nch$

D65: Buntton G50B  
 LCH\*Ma: 45 46 217  
 rgb\*Ma: 0.0 1.0 1.0

Dreiecks-Helligkeit



%Umfang

$u^*_{rel} = 92$

MRS18a; adaptierte CIELAB-Daten

|                    | $L^* = L^*_a$ | $a^*_a$ | $b^*_a$ | $C^*_{ab,a}$ | $h^*_{ab,a}$ |
|--------------------|---------------|---------|---------|--------------|--------------|
| RMa                | 49.63         | 66.8    | 40.02   | 77.87        | 31           |
| JMa                | 90.7          | -7.27   | 93.19   | 93.48        | 94           |
| GMa                | 52.11         | -69.93  | 11.26   | 70.85        | 171          |
| G50B <sub>Ma</sub> | 45.03         | -36.65  | -27.13  | 45.61        | 217          |
| B <sub>Ma</sub>    | 36.65         | 23.26   | -62.27  | 66.49        | 290          |
| B50R <sub>Ma</sub> | 34.94         | 57.27   | -43.6   | 71.99        | 323          |
| N <sub>Ma</sub>    | 18.01         | 0.0     | 0.0     | 0.0          | 0            |
| W <sub>Ma</sub>    | 95.41         | 0.0     | 0.0     | 0.0          | 0            |
| RCIE               | 39.92         | 58.67   | 27.97   | 64.99        | 25           |
| JCIE               | 81.26         | -2.91   | 71.56   | 71.62        | 92           |
| GCIE               | 52.23         | -42.47  | 13.58   | 44.6         | 162          |
| BCIE               | 30.57         | 1.33    | -46.48  | 46.51        | 272          |

%Regularität

$g^*_{H,rel} = 42$

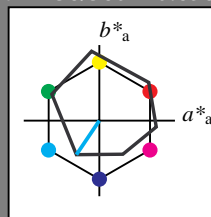
$g^*_{C,rel} = 49$

Ausgabe: Farbmetrisches Reflexions-System ORS18

für Buntton  $h^* = lab^*h = 236/360 = 0.656$   
 $lab^*tch$  und  $lab^*nch$

D65: Buntton C  
 LCH\*Ma: 59 54 236  
 rgb\*Ma: 0.0 1.0 1.0

Dreiecks-Helligkeit



%Umfang

$u^*_{rel} = 93$

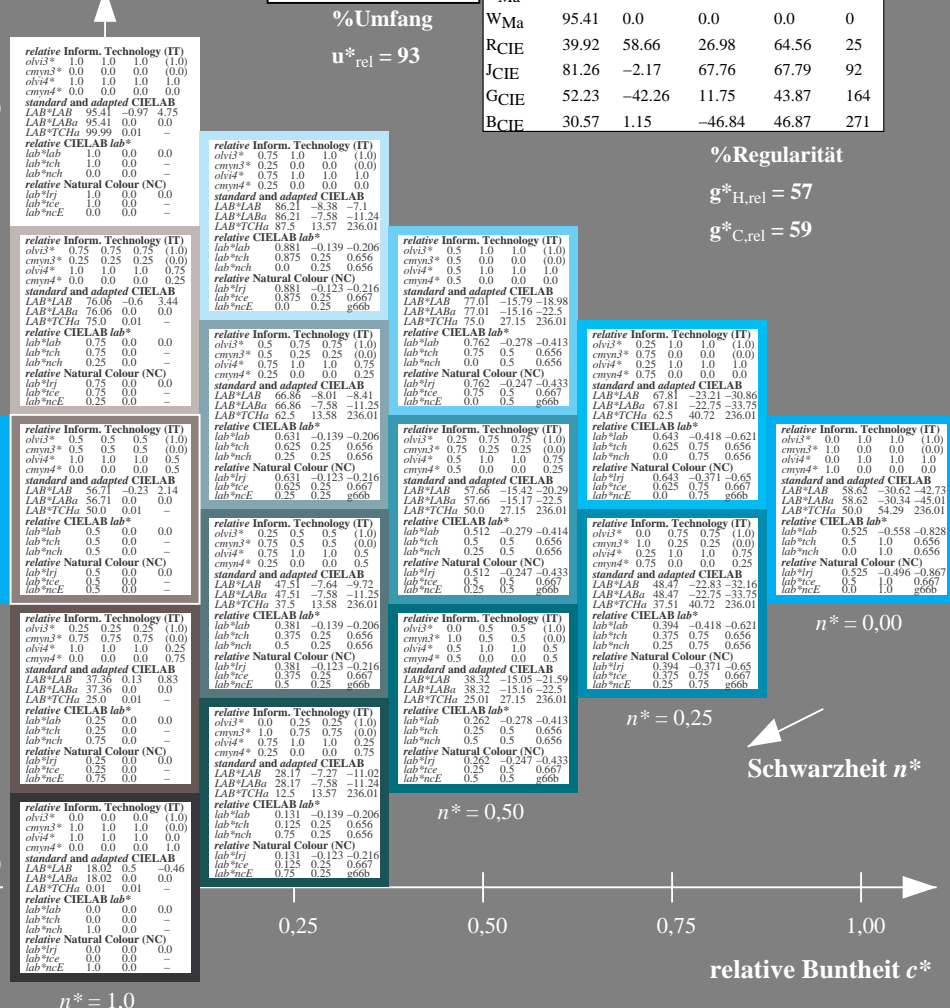
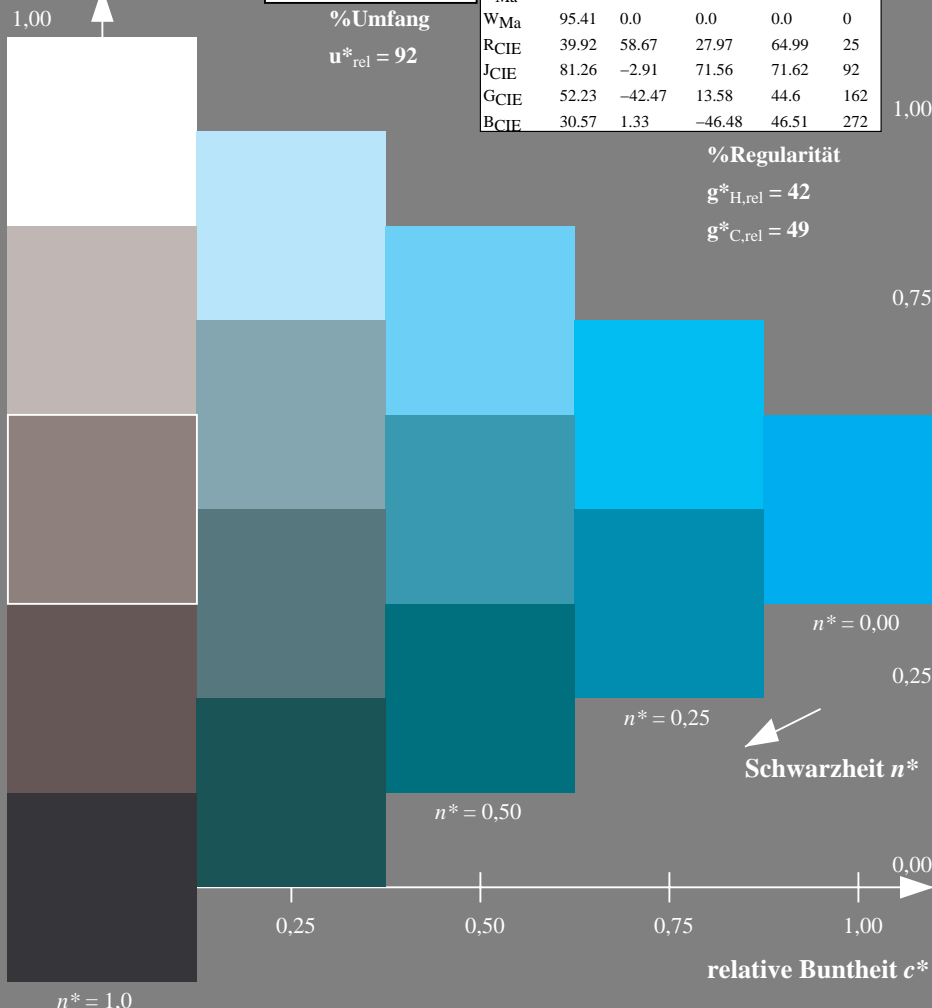
ORS18; adaptierte CIELAB-Daten

|                 | $L^* = L^*_a$ | $a^*_a$ | $b^*_a$ | $C^*_{ab,a}$ | $h^*_{ab,a}$ |
|-----------------|---------------|---------|---------|--------------|--------------|
| OMa             | 49.94         | 65.37   | 50.52   | 82.62        | 38           |
| YMa             | 90.37         | -10.27  | 91.77   | 92.34        | 96           |
| LMa             | 50.9          | -62.79  | 34.95   | 71.87        | 151          |
| CMa             | 58.62         | -30.35  | -45.01  | 54.3         | 236          |
| VMa             | 25.71         | 31.11   | -44.42  | 54.24        | 305          |
| MMa             | 48.13         | 75.27   | -8.35   | 75.73        | 354          |
| N <sub>Ma</sub> | 18.01         | 0.0     | 0.0     | 0.0          | 0            |
| W <sub>Ma</sub> | 95.41         | 0.0     | 0.0     | 0.0          | 0            |
| RCIE            | 39.92         | 58.66   | 26.98   | 64.56        | 25           |
| JCIE            | 81.26         | -2.17   | 67.76   | 67.79        | 92           |
| GCIE            | 52.23         | -42.26  | 11.75   | 43.87        | 164          |
| BCIE            | 30.57         | 1.15    | -46.84  | 46.87        | 271          |

%Regularität

$g^*_{H,rel} = 57$

$g^*_{C,rel} = 59$



UG460-7, 5 stufige Reihen für konstanten CIELAB Buntton 217/360 = 0.601 (links)

5 stufige Reihen für konstanten CIELAB Buntton 236/360 = 0.656 (rechts)

BAM-Prüfvorlage UG46; Farbmetrik-Systeme MRS18a & ORS18; Input:  $cmY0^* setcmykcolor$

D65: 5stufige Farbreihen und Koordinaten-Daten für 10 Bunttöne; Output: *no change compared to input*

Siehe ähnliche Dateien: <http://www.ps.bam.de/UG46/>  
 Technische Information: <http://www.ps.bam.de/Version 2.1, io=0,0>

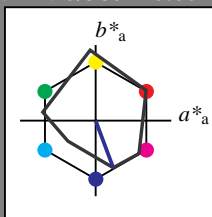
BAM-Registrierung: 20060101-UG46/10L/L46G03NP.PS/.PDF BAM-Material: Code=rhakt4  
 Anwendung für Beurteilung und Messung von Drucker- oder Monitorsystemen  
 UG46 Form: 4/10, Serie: 1/1, Seite: 4  
 Scherzhang 4

Eingabe: Farbmetrisches Reflexions-System MRS18a

für Buntton  $h^* = lab^*h = 290/360 = 0.807$   
 $lab^*tch$  und  $lab^*nch$

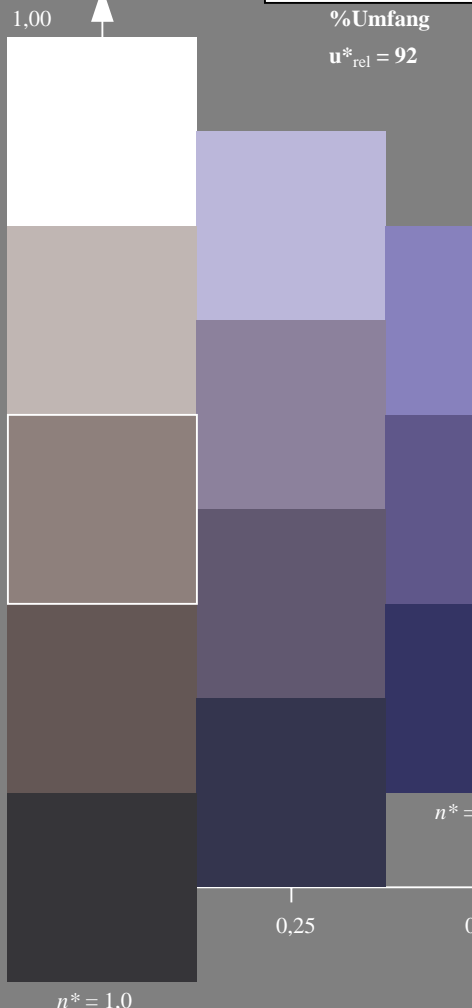
D65: Buntton B  
 LCH\*Ma: 37 66 290  
 rgb\*Ma: 0.0 0.0 1.0

Dreiecks-Helligkeit



%Umfang

$u^*_{rel} = 92$



MRS18a; adaptierte CIELAB-Daten

|                    | $L^* = L^*_a$ | $a^*_a$ | $b^*_a$ | $C^*_{ab,a}$ | $h^*_{ab,a}$ |
|--------------------|---------------|---------|---------|--------------|--------------|
| RMa                | 49.63         | 66.8    | 40.02   | 77.87        | 31           |
| JMa                | 90.7          | -7.27   | 93.19   | 93.48        | 94           |
| GMa                | 52.11         | -69.93  | 11.26   | 70.85        | 171          |
| G50B <sub>Ma</sub> | 45.03         | -36.65  | -27.13  | 45.61        | 217          |
| B <sub>Ma</sub>    | 36.65         | 23.26   | -62.27  | 66.49        | 290          |
| B50R <sub>Ma</sub> | 34.94         | 57.27   | -43.6   | 71.99        | 323          |
| N <sub>Ma</sub>    | 18.01         | 0.0     | 0.0     | 0.0          | 0            |
| W <sub>Ma</sub>    | 95.41         | 0.0     | 0.0     | 0.0          | 0            |
| RCIE               | 39.92         | 58.67   | 27.97   | 64.99        | 25           |
| JCIE               | 81.26         | -2.91   | 71.56   | 71.62        | 92           |
| GCIE               | 52.23         | -42.47  | 13.58   | 44.6         | 162          |
| BCIE               | 30.57         | 1.33    | -46.48  | 46.51        | 272          |

%Regularität

$g^*_{H,rel} = 42$

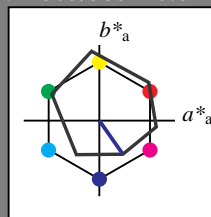
$g^*_{C,rel} = 49$

Ausgabe: Farbmetrisches Reflexions-System ORS18

für Buntton  $h^* = lab^*h = 305/360 = 0.847$   
 $lab^*tch$  und  $lab^*nch$

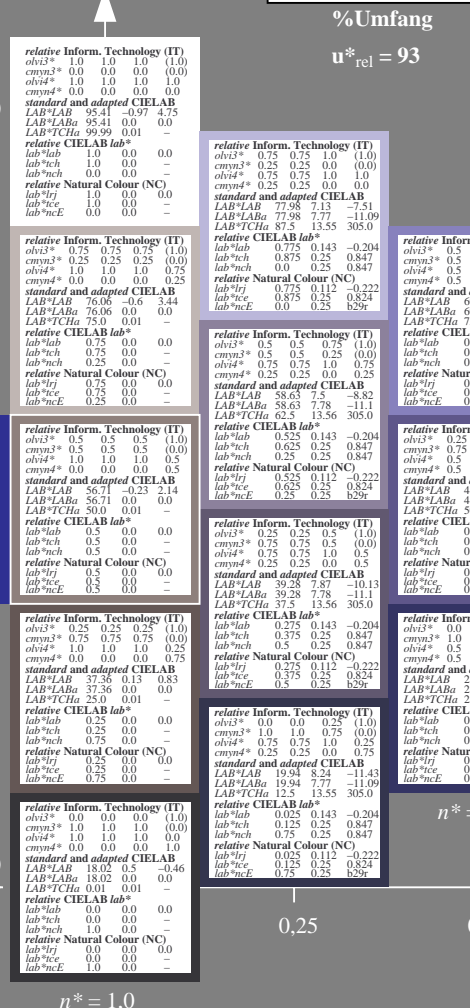
D65: Buntton V  
 LCH\*Ma: 26 54 305  
 rgb\*Ma: 0.0 0.0 1.0

Dreiecks-Helligkeit



%Umfang

$u^*_{rel} = 93$



ORS18; adaptierte CIELAB-Daten

|                 | $L^* = L^*_a$ | $a^*_a$ | $b^*_a$ | $C^*_{ab,a}$ | $h^*_{ab,a}$ |
|-----------------|---------------|---------|---------|--------------|--------------|
| OMa             | 47.94         | 65.37   | 50.52   | 82.62        | 38           |
| YMa             | 90.37         | -10.27  | 91.77   | 92.34        | 96           |
| LMa             | 50.9          | -62.79  | 34.95   | 71.87        | 151          |
| CMa             | 58.62         | -30.35  | -45.01  | 54.3         | 236          |
| V <sub>Ma</sub> | 25.71         | 31.11   | -44.42  | 54.24        | 305          |
| M <sub>Ma</sub> | 48.13         | 75.27   | -8.35   | 75.73        | 354          |
| N <sub>Ma</sub> | 18.01         | 0.0     | 0.0     | 0.0          | 0            |
| W <sub>Ma</sub> | 95.41         | 0.0     | 0.0     | 0.0          | 0            |
| RCIE            | 39.92         | 58.66   | 26.98   | 64.56        | 25           |
| JCIE            | 81.26         | -2.17   | 67.76   | 67.79        | 92           |
| GCIE            | 52.23         | -42.26  | 11.75   | 43.87        | 164          |
| BCIE            | 30.57         | 1.15    | -46.84  | 46.87        | 271          |

%Regularität

$g^*_{H,rel} = 57$

$g^*_{C,rel} = 59$

UG460-7, 5 stufige Reihen für konstanten CIELAB Buntton 290/360 = 0.807 (links)

5 stufige Reihen für konstanten CIELAB Buntton 305/360 = 0.847 (rechts)

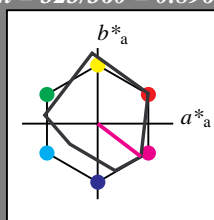
BAM-Prüfvorlage UG46; Farbmetrik-Systeme MRS18a & ORS18 Input:  $cmY0^* setcmykcolor$

D65: 5stufige Farbreihen und Koordinaten-Daten für 10 Bunttöne output: no change compared to input

Eingabe: Farbmatisches Reflexions-System MRS18a  
 für Buntton  $h^* = lab^*h = 323/360 = 0.896$   
 $lab^*tch$  und  $lab^*nch$

D65: Buntton B50R  
 LCH\*Ma: 35 72 323  
 rgb\*Ma: 1.0 0.0 1.0

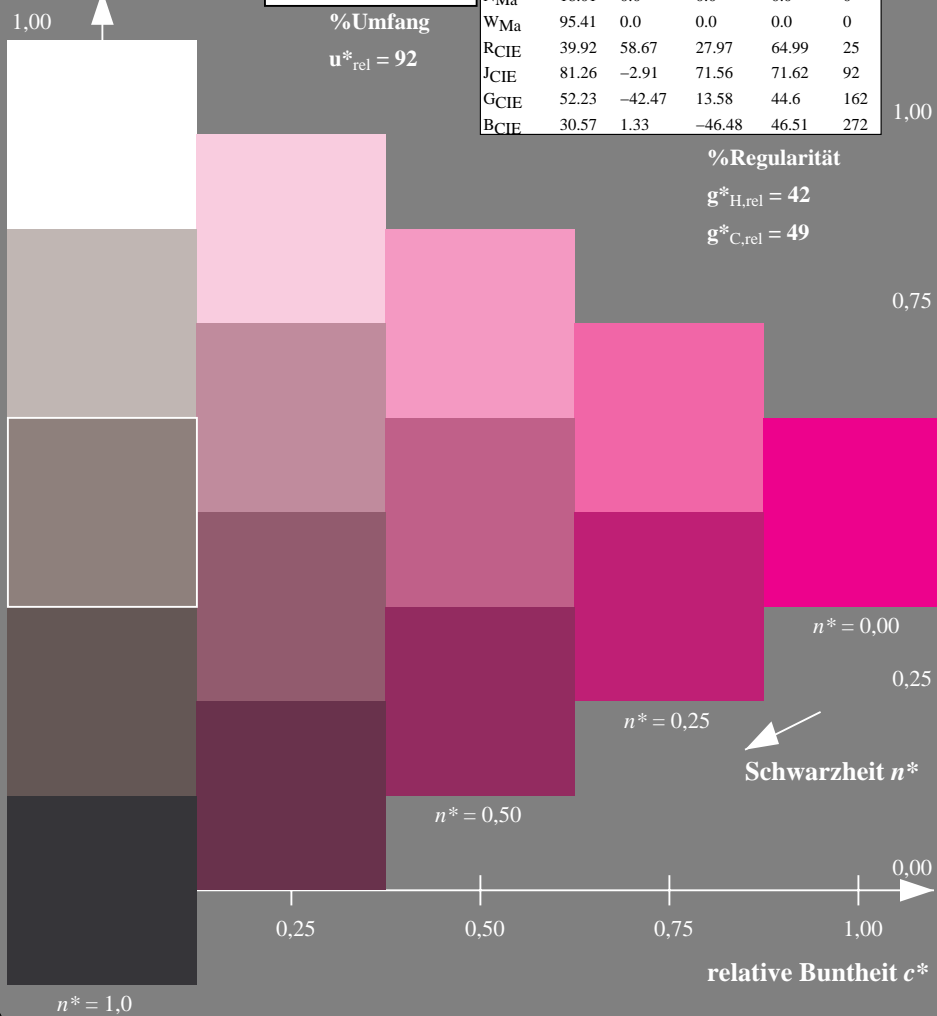
Dreiecks-Helligkeit



MRS18a; adaptierte CIELAB-Daten

|                    | $L^*=L^*_a$ | $a^*_a$ | $b^*_a$ | $C^*_{ab,a}$ | $h^*_{ab,a}$ |
|--------------------|-------------|---------|---------|--------------|--------------|
| RMa                | 49.63       | 66.8    | 40.02   | 77.87        | 31           |
| JMa                | 90.7        | -7.27   | 93.19   | 93.48        | 94           |
| GMa                | 52.11       | -69.93  | 11.26   | 70.85        | 171          |
| G50B <sub>Ma</sub> | 45.03       | -36.65  | -27.13  | 45.61        | 217          |
| B <sub>Ma</sub>    | 36.65       | 23.26   | -62.27  | 66.49        | 290          |
| B50R <sub>Ma</sub> | 34.94       | 57.27   | -43.6   | 71.99        | 323          |
| N <sub>Ma</sub>    | 18.01       | 0.0     | 0.0     | 0.0          | 0            |
| W <sub>Ma</sub>    | 95.41       | 0.0     | 0.0     | 0.0          | 0            |
| RCIE               | 39.92       | 58.67   | 27.97   | 64.99        | 25           |
| JCIE               | 81.26       | -2.91   | 71.56   | 71.62        | 92           |
| GCIE               | 52.23       | -42.47  | 13.58   | 44.6         | 162          |
| BCIE               | 30.57       | 1.33    | -46.48  | 46.51        | 272          |

%Regularität  
 $g^*_{H,rel} = 42$   
 $g^*_{C,rel} = 49$

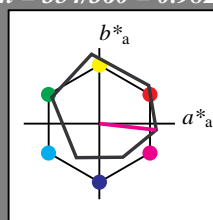


UG460-7, 5 stufige Reihen für konstanten CIELAB Buntton 323/360 = 0.896 (links)

Ausgabe: Farbmatisches Reflexions-System ORS18  
 für Buntton  $h^* = lab^*h = 354/360 = 0.982$   
 $lab^*tch$  und  $lab^*nch$

D65: Buntton M  
 LCH\*Ma: 48 76 354  
 rgb\*Ma: 1.0 0.0 1.0

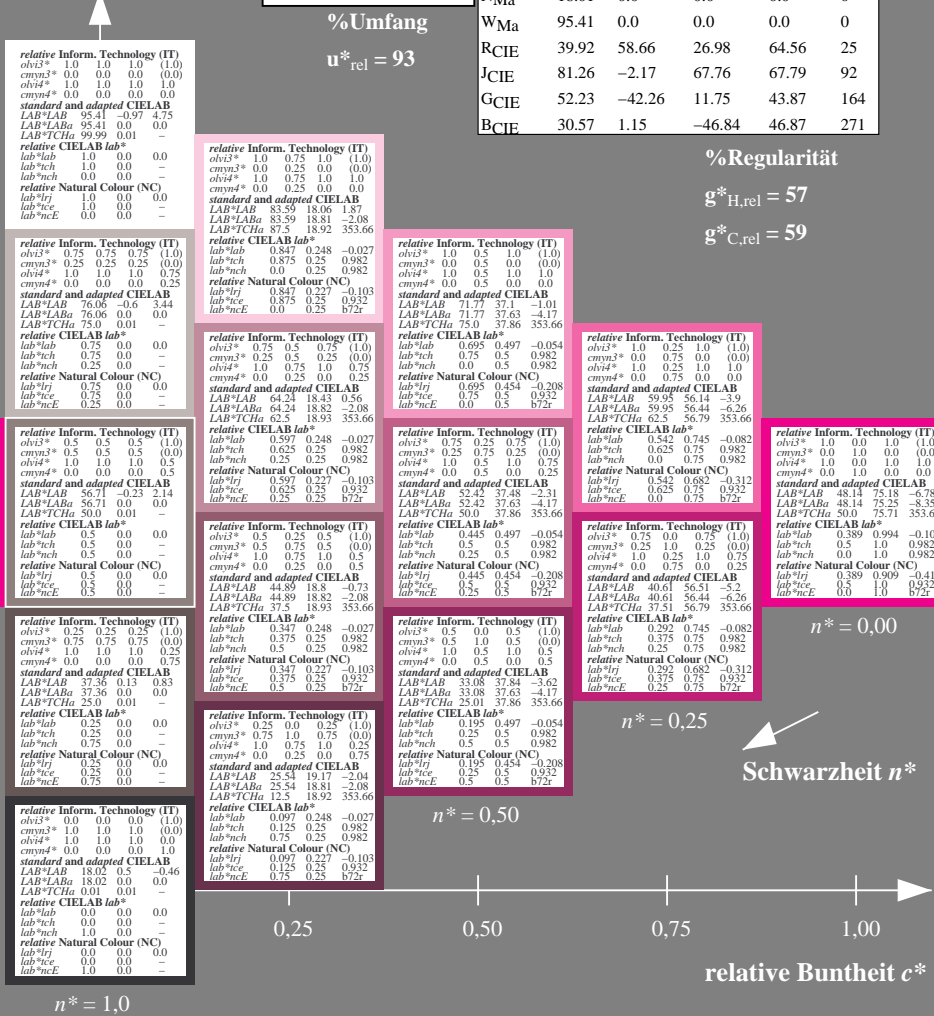
Dreiecks-Helligkeit



ORS18; adaptierte CIELAB-Daten

|                 | $L^*=L^*_a$ | $a^*_a$ | $b^*_a$ | $C^*_{ab,a}$ | $h^*_{ab,a}$ |
|-----------------|-------------|---------|---------|--------------|--------------|
| OMa             | 47.94       | 65.37   | 50.52   | 82.62        | 38           |
| YMa             | 90.37       | -10.27  | 91.77   | 92.34        | 96           |
| LMa             | 50.9        | -62.79  | 34.95   | 71.87        | 151          |
| CMa             | 58.62       | -30.35  | -45.01  | 54.3         | 236          |
| VMa             | 25.71       | 31.11   | -44.42  | 54.24        | 305          |
| MMa             | 48.13       | 75.27   | -8.35   | 75.73        | 354          |
| N <sub>Ma</sub> | 18.01       | 0.0     | 0.0     | 0.0          | 0            |
| W <sub>Ma</sub> | 95.41       | 0.0     | 0.0     | 0.0          | 0            |
| RCIE            | 39.92       | 58.66   | 26.98   | 64.56        | 25           |
| JCIE            | 81.26       | -2.17   | 67.76   | 67.79        | 92           |
| GCIE            | 52.23       | -42.26  | 11.75   | 43.87        | 164          |
| BCIE            | 30.57       | 1.15    | -46.84  | 46.87        | 271          |

%Regularität  
 $g^*_{H,rel} = 57$   
 $g^*_{C,rel} = 59$



5 stufige Reihen für konstanten CIELAB Buntton 354/360 = 0.982 (rechts)

BAM-Prüfvorlage UG46; Farbmeterik-Systeme MRS18a & ORS18  
 D65: 5stufige Farbreihen und Koordinaten-Daten für 10 Bunttöne  
 output: *no change compared to input*

Siehe ähnliche Dateien: <http://www.ps.bam.de/UG46/>  
 Technische Information: <http://www.ps.bam.de> Version 2.1, io=0,0

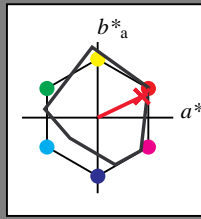
BAM-Registrierung: 20060101-UG46/10L/L46G05NP.PS/.PDF BAM-Material: Code=rhakta  
 Anwendung für Beurteilung und Messung von Drucker- oder Monitorsystemen  
 UG46 Form 6/10, Serie: 1/1, Seite: 6  
 Scherzhang 6

Eingabe: Farbmimetrisches Reflexions-System MRS18a

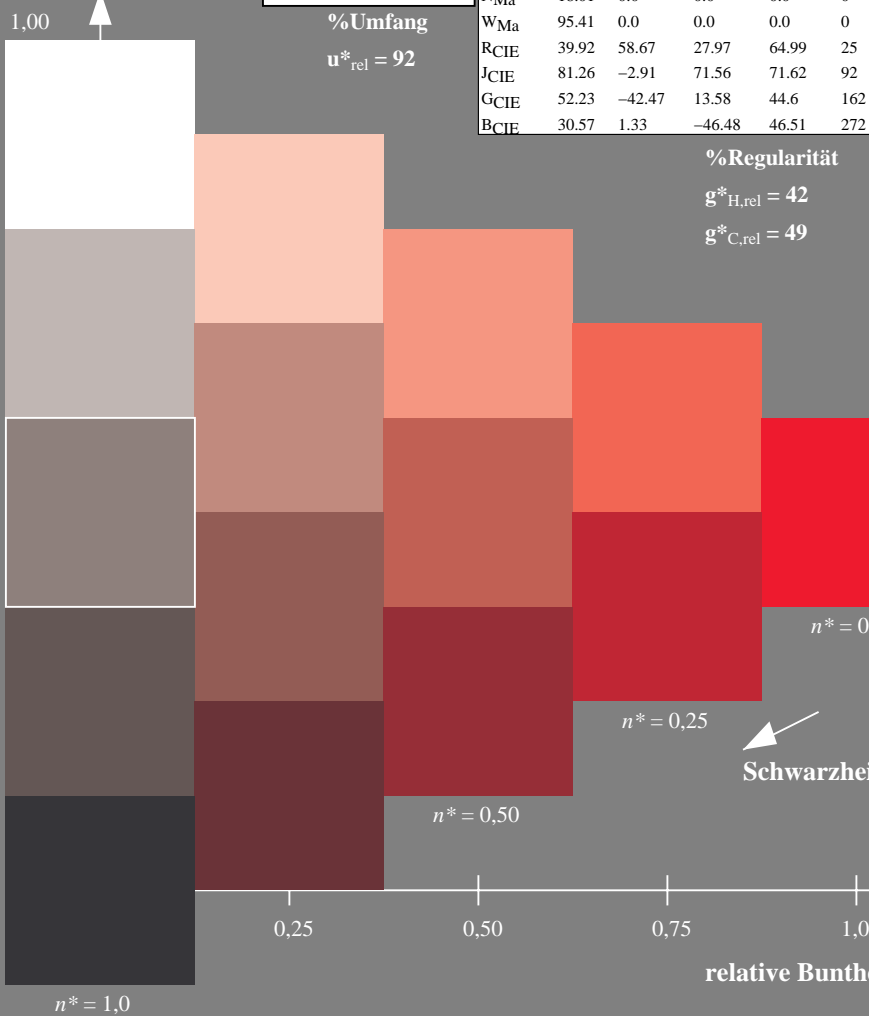
für Buntton  $h^* = lab^*h = 25/360 = 0.071$   
 $lab^*tch$  und  $lab^*nch$

D65: Buntton R  
 LCH\*Ma: 48 73 25  
 rgb\*Ma: 1.0 0.0 0.1

Dreiecks-Helligkeit



%Umfang  
 $u^*_{rel} = 92$



MRS18a; adaptierte CIELAB-Daten

|                    | $L^*=L^*_a$ | $a^*_a$ | $b^*_a$ | $C^*_{ab,a}$ | $h^*_{ab,a}$ |
|--------------------|-------------|---------|---------|--------------|--------------|
| RMa                | 49.63       | 66.8    | 40.02   | 77.87        | 31           |
| JMa                | 90.7        | -7.27   | 93.19   | 93.48        | 94           |
| GMa                | 52.11       | -69.93  | 11.26   | 70.85        | 171          |
| G50B <sub>Ma</sub> | 45.03       | -36.65  | -27.13  | 45.61        | 217          |
| B <sub>Ma</sub>    | 36.65       | 23.26   | -62.27  | 66.49        | 290          |
| B50R <sub>Ma</sub> | 34.94       | 57.27   | -43.6   | 71.99        | 323          |
| N <sub>Ma</sub>    | 18.01       | 0.0     | 0.0     | 0.0          | 0            |
| W <sub>Ma</sub>    | 95.41       | 0.0     | 0.0     | 0.0          | 0            |
| RCIE               | 39.92       | 58.67   | 27.97   | 64.99        | 25           |
| JCIE               | 81.26       | -2.91   | 71.56   | 71.62        | 92           |
| GCIE               | 52.23       | -42.47  | 13.58   | 44.6         | 162          |
| BCIE               | 30.57       | 1.33    | -46.48  | 46.51        | 272          |

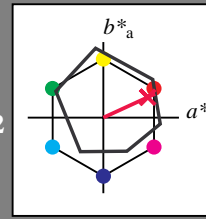
%Regularität  
 $g^*_{H,rel} = 42$   
 $g^*_{C,rel} = 49$

Ausgabe: Farbmimetrisches Reflexions-System ORS18

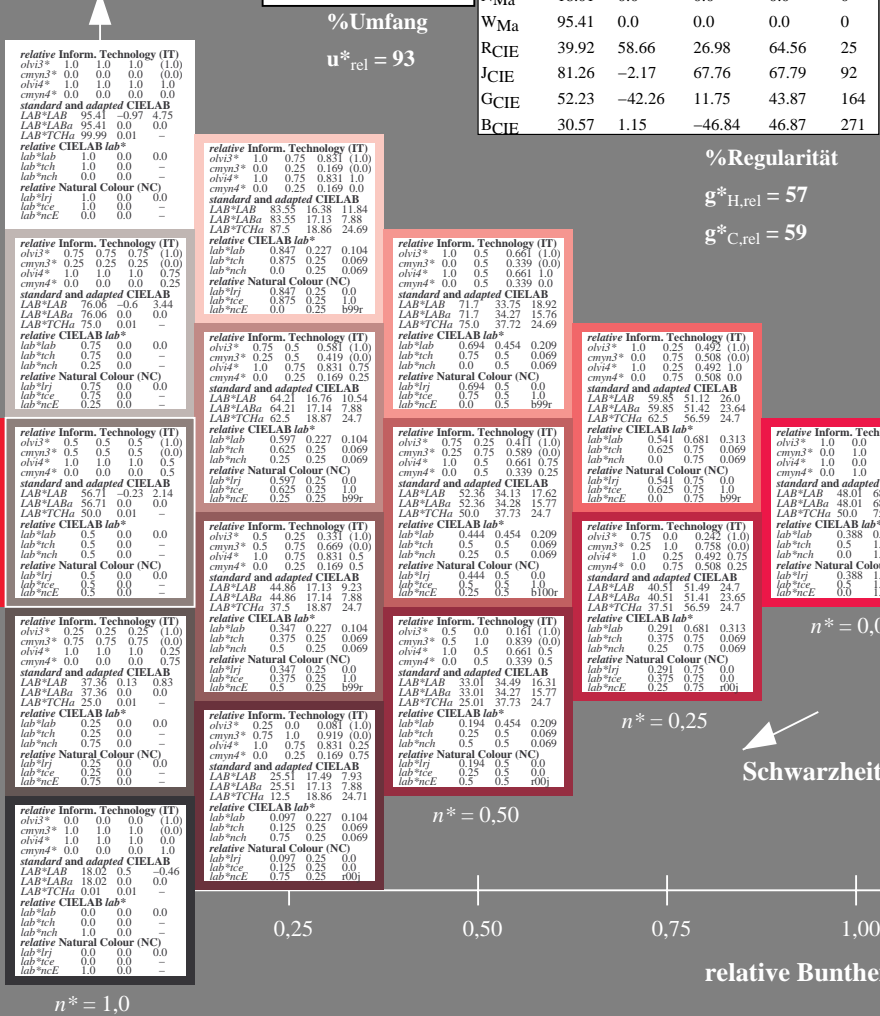
für Buntton  $h^* = lab^*h = 25/360 = 0.069$   
 $lab^*tch$  und  $lab^*nch$

D65: Buntton R  
 LCH\*Ma: 48 75 25  
 rgb\*Ma: 1.0 0.0 0.32

Dreiecks-Helligkeit



%Umfang  
 $u^*_{rel} = 93$



ORS18; adaptierte CIELAB-Daten

|                 | $L^*=L^*_a$ | $a^*_a$ | $b^*_a$ | $C^*_{ab,a}$ | $h^*_{ab,a}$ |
|-----------------|-------------|---------|---------|--------------|--------------|
| OMa             | 47.94       | 65.37   | 50.52   | 82.62        | 38           |
| YMa             | 90.37       | -10.27  | 91.77   | 92.34        | 96           |
| LMa             | 50.9        | -62.79  | 34.95   | 71.87        | 151          |
| CMa             | 58.62       | -30.35  | -45.01  | 54.3         | 236          |
| V <sub>Ma</sub> | 25.71       | 31.11   | -44.42  | 54.24        | 305          |
| M <sub>Ma</sub> | 48.13       | 75.27   | -8.35   | 75.73        | 354          |
| N <sub>Ma</sub> | 18.01       | 0.0     | 0.0     | 0.0          | 0            |
| W <sub>Ma</sub> | 95.41       | 0.0     | 0.0     | 0.0          | 0            |
| RCIE            | 39.92       | 58.66   | 26.98   | 64.56        | 25           |
| JCIE            | 81.26       | -2.17   | 67.76   | 67.79        | 92           |
| GCIE            | 52.23       | -42.26  | 11.75   | 43.87        | 164          |
| BCIE            | 30.57       | 1.15    | -46.84  | 46.87        | 271          |

%Regularität  
 $g^*_{H,rel} = 57$   
 $g^*_{C,rel} = 59$

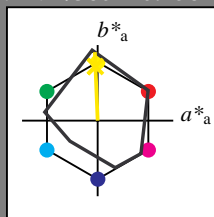
UG460-7, 5stufige Reihen für konstanten CIELAB Buntton 25/360 = 0.071 (links)

5 stufige Reihen für konstanten CIELAB Buntton 25/360 = 0.069 (rechts)

BAM-Prüfvorlage UG46; Farbmimetrische Systeme MRS18a & ORS18  
 D65: 5stufige Farbreihen und Koordinaten-Daten für 10 Bunttöne  
 output: no change compared to input

Eingabe: Farbmetrisches Reflexions-System MRS18a  
 für Buntton  $h^* = lab^*h = 92/360 = 0.256$   
 $lab^*tch$  und  $lab^*nch$

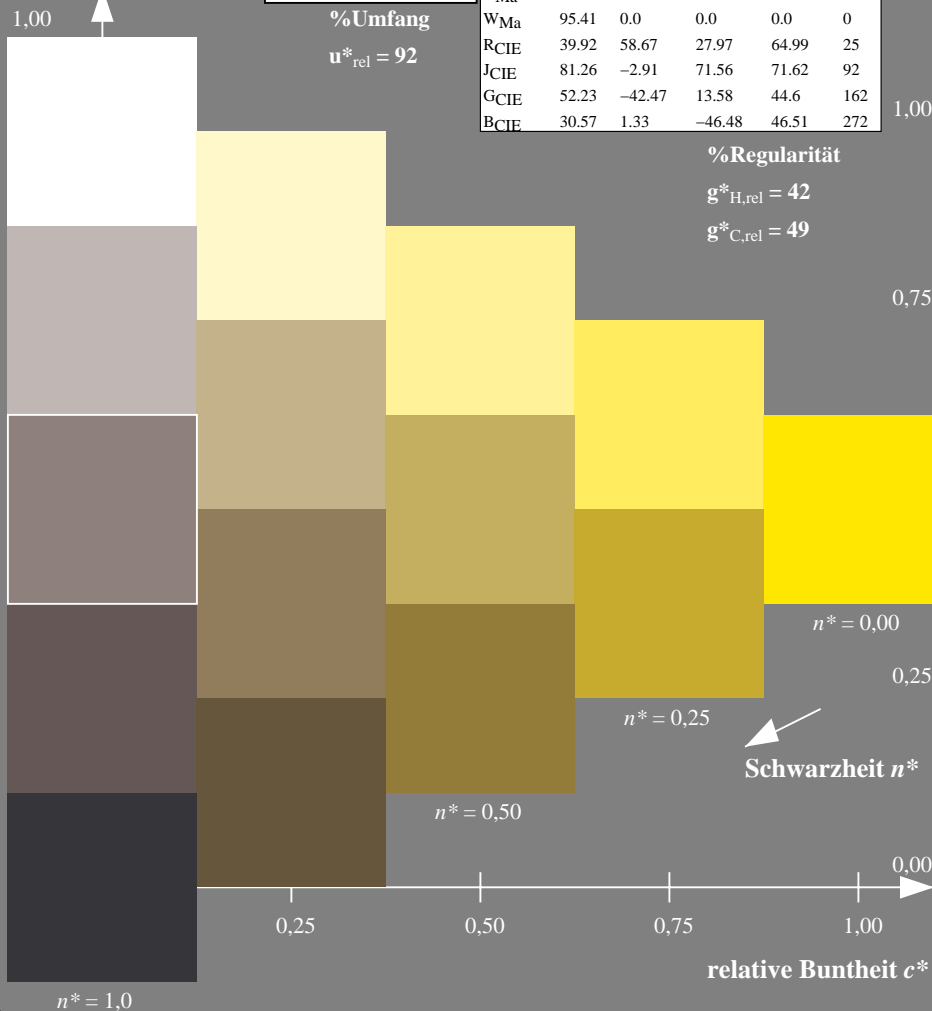
D65: Buntton J  
 LCH\*Ma: 89 91 92  
 rgb\*Ma: 1.0 0.95 0.0  
 Dreiecks-Helligkeit



MRS18a; adaptierte CIELAB-Daten

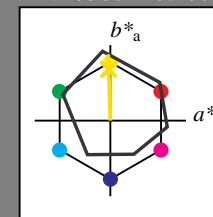
|                    | $L^*=L^*_a$ | $a^*_a$ | $b^*_a$ | $C^*_{ab,a}$ | $h^*_{ab,a}$ |
|--------------------|-------------|---------|---------|--------------|--------------|
| RMa                | 49.63       | 66.8    | 40.02   | 77.87        | 31           |
| JMa                | 90.7        | -7.27   | 93.19   | 93.48        | 94           |
| GMa                | 52.11       | -69.93  | 11.26   | 70.85        | 171          |
| G50B <sub>Ma</sub> | 45.03       | -36.65  | -27.13  | 45.61        | 217          |
| B <sub>Ma</sub>    | 36.65       | 23.26   | -62.27  | 66.49        | 290          |
| B50R <sub>Ma</sub> | 34.94       | 57.27   | -43.6   | 71.99        | 323          |
| N <sub>Ma</sub>    | 18.01       | 0.0     | 0.0     | 0.0          | 0            |
| W <sub>Ma</sub>    | 95.41       | 0.0     | 0.0     | 0.0          | 0            |
| RCIE               | 39.92       | 58.67   | 27.97   | 64.99        | 25           |
| JCIE               | 81.26       | -2.91   | 71.56   | 71.62        | 92           |
| GCIE               | 52.23       | -42.47  | 13.58   | 44.6         | 162          |
| BCIE               | 30.57       | 1.33    | -46.48  | 46.51        | 272          |

%Regularität  
 $g^*_{H,rel} = 42$   
 $g^*_{C,rel} = 49$



Ausgabe: Farbmetrisches Reflexions-System ORS18  
 für Buntton  $h^* = lab^*h = 92/360 = 0.255$   
 $lab^*tch$  und  $lab^*nch$

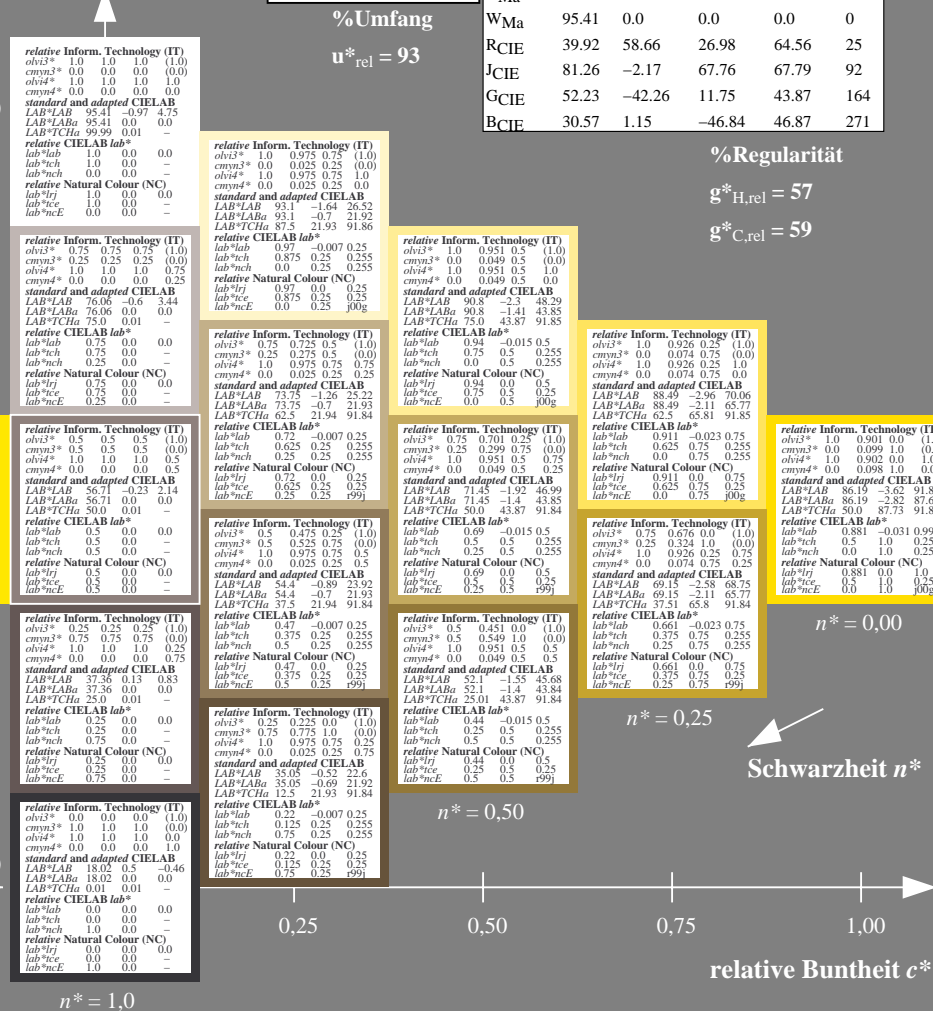
D65: Buntton J  
 LCH\*Ma: 86 88 92  
 rgb\*Ma: 1.0 0.9 0.0  
 Dreiecks-Helligkeit



ORS18; adaptierte CIELAB-Daten

|                 | $L^*=L^*_a$ | $a^*_a$ | $b^*_a$ | $C^*_{ab,a}$ | $h^*_{ab,a}$ |
|-----------------|-------------|---------|---------|--------------|--------------|
| OMa             | 47.94       | 65.37   | 50.52   | 82.62        | 38           |
| YMa             | 90.37       | -10.27  | 91.77   | 92.34        | 96           |
| LMa             | 50.9        | -62.79  | 34.95   | 71.87        | 151          |
| CMa             | 58.62       | -30.35  | -45.01  | 54.3         | 236          |
| V <sub>Ma</sub> | 25.71       | 31.11   | -44.42  | 54.24        | 305          |
| M <sub>Ma</sub> | 48.13       | 75.27   | -8.35   | 75.73        | 354          |
| N <sub>Ma</sub> | 18.01       | 0.0     | 0.0     | 0.0          | 0            |
| W <sub>Ma</sub> | 95.41       | 0.0     | 0.0     | 0.0          | 0            |
| RCIE            | 39.92       | 58.66   | 26.98   | 64.56        | 25           |
| JCIE            | 81.26       | -2.17   | 67.76   | 67.79        | 92           |
| GCIE            | 52.23       | -42.26  | 11.75   | 43.87        | 164          |
| BCIE            | 30.57       | 1.15    | -46.84  | 46.87        | 271          |

%Regularität  
 $g^*_{H,rel} = 57$   
 $g^*_{C,rel} = 59$



UG460-7, 5 stufige Reihen für konstanten CIELAB Buntton 92/360 = 0.256 (links)

5 stufige Reihen für konstanten CIELAB Buntton 92/360 = 0.255 (rechts)

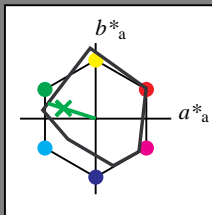
BAM-Prüfvorlage UG46; Farbmetrik-Systeme MRS18a & ORS18 Input:  $cmY0^* setcmykcolor$

D65: 5stufige Farbreihen und Koordinaten-Daten für 10 Bunttöneoutput: no change compared to input



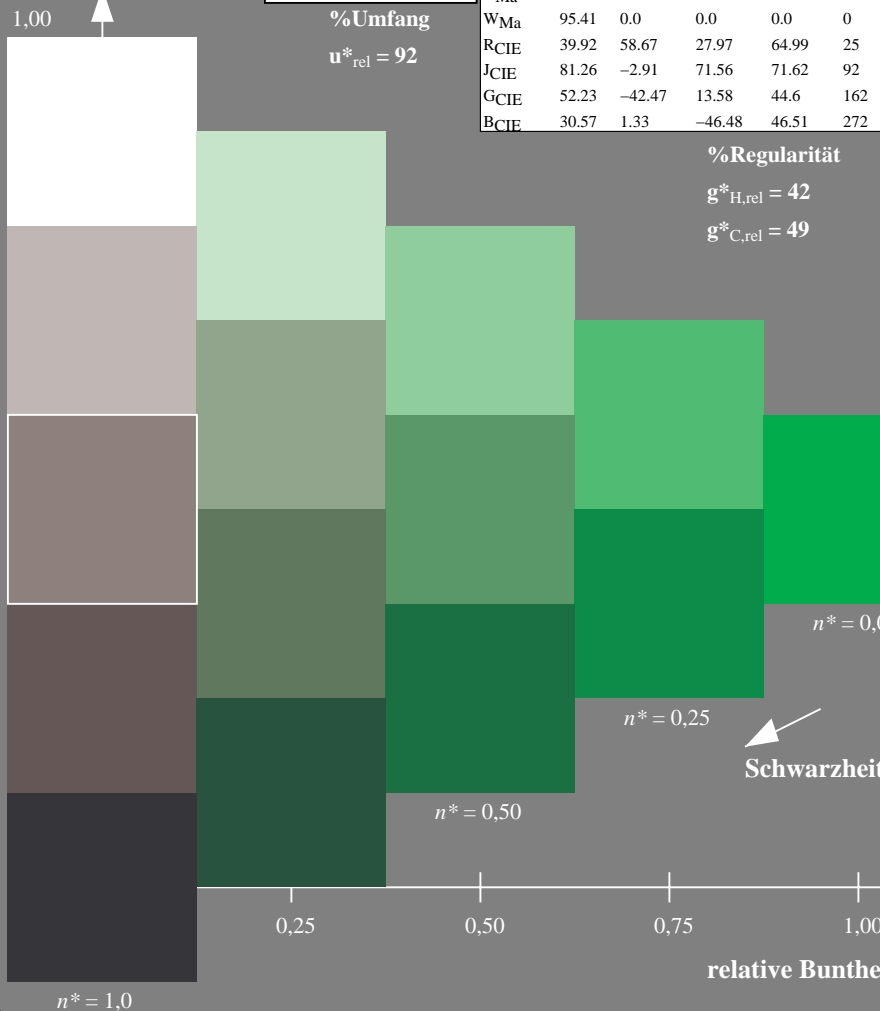
Eingabe: Farbmetrisches Reflexions-System MRS18a  
 für Buntton  $h^* = lab^*h = 162/360 = 0.451$   
 $lab^*tch$  und  $lab^*nch$

D65: Buntton G  
 LCH\*Ma: 56 66 162  
 rgb\*Ma: 0.11 1.0 0.0  
 Dreiecks-Helligkeit



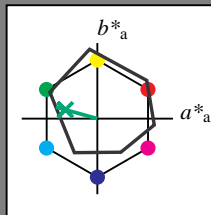
MRS18a; adaptierte CIELAB-Daten

|                    | $L^*=L^*_a$ | $a^*_a$ | $b^*_a$ | $C^*_{ab,a}$ | $h^*_{ab,a}$ |
|--------------------|-------------|---------|---------|--------------|--------------|
| RMa                | 49.63       | 66.8    | 40.02   | 77.87        | 31           |
| JMa                | 90.7        | -7.27   | 93.19   | 93.48        | 94           |
| GMa                | 52.11       | -69.93  | 11.26   | 70.85        | 171          |
| G50B <sub>Ma</sub> | 45.03       | -36.65  | -27.13  | 45.61        | 217          |
| B <sub>Ma</sub>    | 36.65       | 23.26   | -62.27  | 66.49        | 290          |
| B50R <sub>Ma</sub> | 34.94       | 57.27   | -43.6   | 71.99        | 323          |
| N <sub>Ma</sub>    | 18.01       | 0.0     | 0.0     | 0.0          | 0            |
| W <sub>Ma</sub>    | 95.41       | 0.0     | 0.0     | 0.0          | 0            |
| RCIE               | 39.92       | 58.67   | 27.97   | 64.99        | 25           |
| JCIE               | 81.26       | -2.91   | 71.56   | 71.62        | 92           |
| GCIE               | 52.23       | -42.47  | 13.58   | 44.6         | 162          |
| BCIE               | 30.57       | 1.33    | -46.48  | 46.51        | 272          |



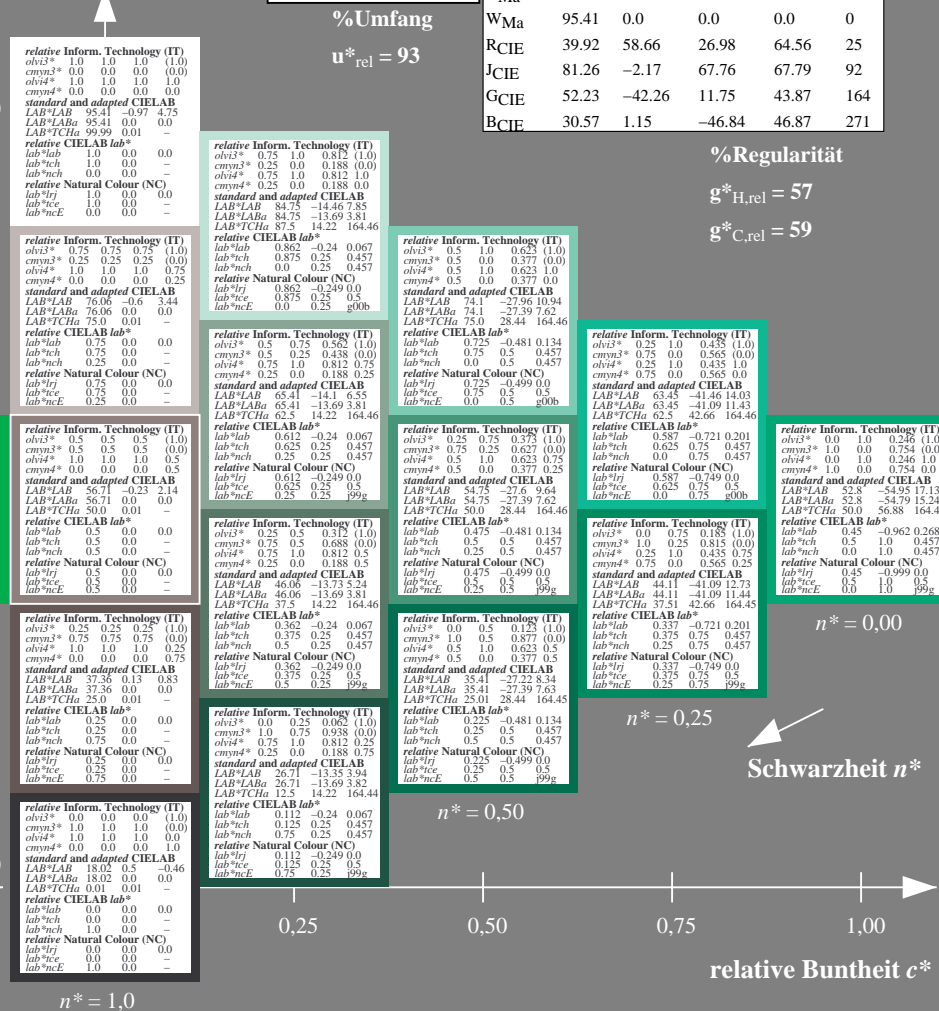
Ausgabe: Farbmetrisches Reflexions-System ORS18  
 für Buntton  $h^* = lab^*h = 164/360 = 0.457$   
 $lab^*tch$  und  $lab^*nch$

D65: Buntton G  
 LCH\*Ma: 53 57 164  
 rgb\*Ma: 0.0 1.0 0.25  
 Dreiecks-Helligkeit



ORS18; adaptierte CIELAB-Daten

|                 | $L^*=L^*_a$ | $a^*_a$ | $b^*_a$ | $C^*_{ab,a}$ | $h^*_{ab,a}$ |
|-----------------|-------------|---------|---------|--------------|--------------|
| OMa             | 47.94       | 65.37   | 50.52   | 82.62        | 36           |
| YMa             | 90.37       | -10.27  | 91.77   | 92.34        | 98           |
| LMa             | 50.9        | -62.79  | 34.95   | 71.87        | 151          |
| CMa             | 58.62       | -30.35  | -45.01  | 54.3         | 236          |
| V <sub>Ma</sub> | 25.71       | 31.11   | -44.42  | 54.24        | 305          |
| M <sub>Ma</sub> | 48.13       | 75.27   | -8.35   | 75.73        | 354          |
| N <sub>Ma</sub> | 18.01       | 0.0     | 0.0     | 0.0          | 0            |
| W <sub>Ma</sub> | 95.41       | 0.0     | 0.0     | 0.0          | 0            |
| RCIE            | 39.92       | 58.66   | 26.98   | 64.56        | 25           |
| JCIE            | 81.26       | -2.17   | 67.76   | 67.79        | 92           |
| GCIE            | 52.23       | -42.26  | 11.75   | 43.87        | 164          |
| BCIE            | 30.57       | 1.15    | -46.84  | 46.87        | 271          |



UG460-7, 5 stufige Reihen für konstanten CIELAB Buntton 162/360 = 0.451 (links)

5 stufige Reihen für konstanten CIELAB Buntton 164/360 = 0.457 (rechts)

BAM-Prüfvorlage UG46; Farbmetrik-Systeme MRS18a & ORS18; Input:  $cmY0^* setcmykcolor$

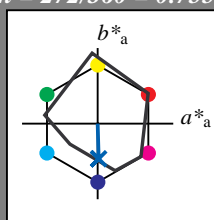
D65: 5stufige Farbreihen und Koordinaten-Daten für 10 Bunttöne; Output: *no change compared to input*

Eingabe: Farbmetrisches Reflexions-System MRS18a

für Buntton  $h^* = lab^*h = 272/360 = 0.755$   
 $lab^*tch$  und  $lab^*nch$

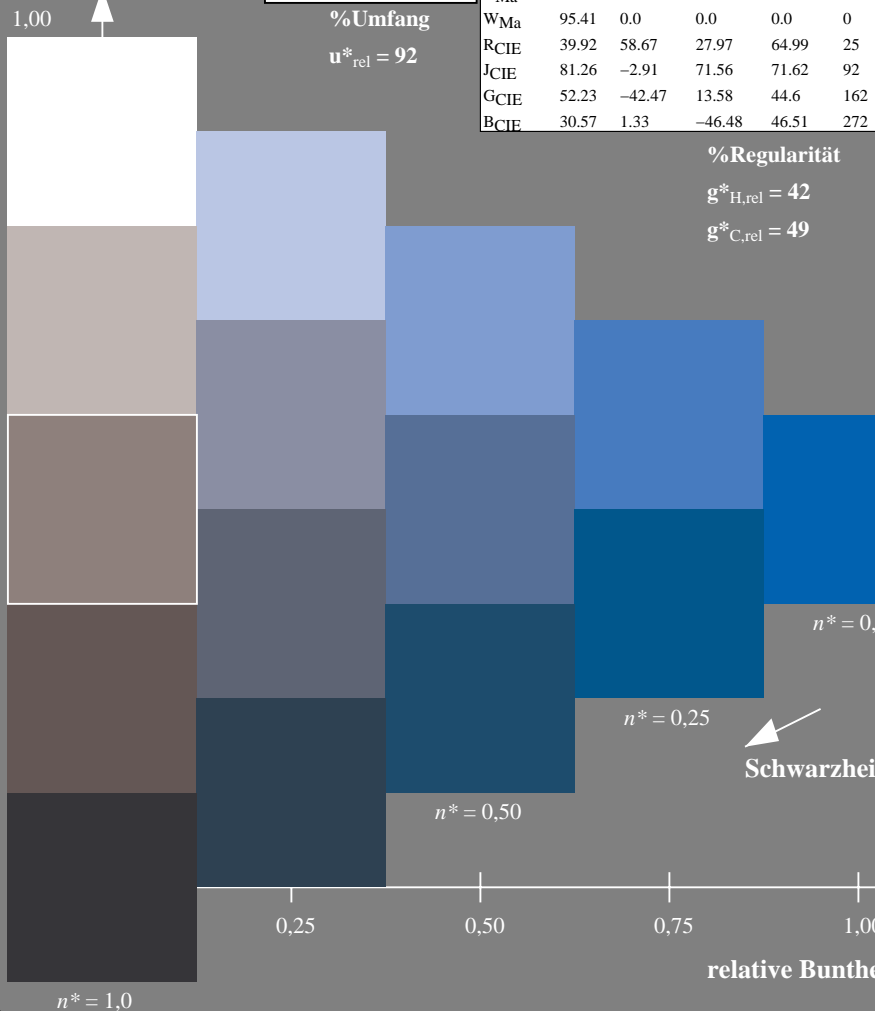
D65: Buntton B  
 LCH\*Ma: 40 49 272  
 rgb\*Ma: 0.0 0.36 1.0

Dreiecks-Helligkeit



%Umfang

$u^*_{rel} = 92$



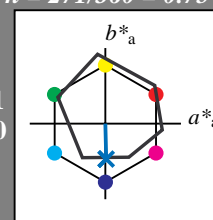
UG460-7, 5stufige Reihen für konstanten CIELAB Buntton 272/360 = 0.755 (links)

Ausgabe: Farbmetrisches Reflexions-System ORS18

für Buntton  $h^* = lab^*h = 271/360 = 0.754$   
 $lab^*tch$  und  $lab^*nch$

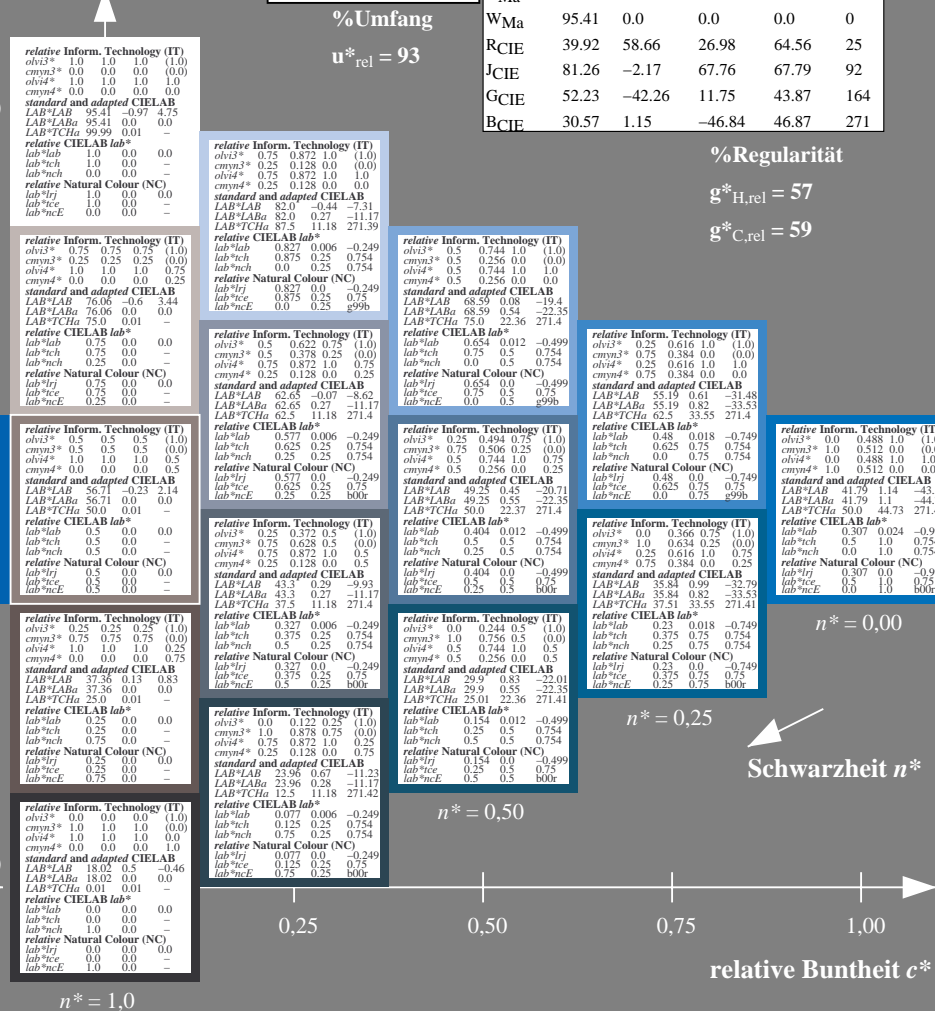
D65: Buntton B  
 LCH\*Ma: 42 45 271  
 rgb\*Ma: 0.0 0.49 1.0

Dreiecks-Helligkeit



%Umfang

$u^*_{rel} = 93$



5stufige Reihen für konstanten CIELAB Buntton 271/360 = 0.754 (rechts)

BAM-Prüfvorlage UG46; Farbmetrik-Systeme MRS18a & ORS18  
 Input:  $cmY0^* setcmykcolor$

D65: 5stufige Farbreihen und Koordinaten-Daten für 10 Bunttöne  
 Output: no change compared to input